

Особенности магнитоакустических волн в Fe_3VO_6

© В.Д. Бучельников, Н.К. Даньшин*, Д.М. Долгушин,
А.И. Изотов*, В.Г. Шавров**, Л.Т. Цымбал*, Т. Takagi***

Челябинский государственный университет,
454021 Челябинск, Россия

* Донецкий физико-технический институт Национальной академии наук Украины,
340114 Донецк, Украина

** Институт радиотехники и электроники Российской академии наук,
125009 Москва, Россия

*** Institute of Fluid Science, Tohoku University,
980-8577 Sendai, Japan

E-mail: buche@csu.ru, shavrov@cplire.ru

(Поступила в Редакцию 22 ноября 2004 г.)

Экспериментально исследованы особенности магнитоакустических волн в орторомбическом антиферромагнетике со слабым ферромагнетизмом Fe_3VO_6 в окрестности спонтанного ориентационного фазового перехода первого рода. Обнаружено, что в точке перехода амплитуда активного (взаимодействующего со спиновыми волнами) звука существенно возрастает. Предложена феноменологическая теория магнитоупругих волн в ортоферритах, учитывающая наличие промежуточной доменной структуры в области ориентационного фазового перехода первого рода и позволяющая объяснить наблюдающуюся экспериментально аномалию амплитуды активного звука.

Соединение Fe_3VO_6 является орторомбическим антиферромагнетиком со слабым ферромагнетизмом. Как и в редкоземельных ортоферритах (RFeO_3 , R — редкоземельный ион), в нем при понижении температуры происходит спонтанный ориентационный фазовый переход (ОФП) $\Gamma_4(G_x, F_z) - \Gamma_2(G_z, F_x)$, где \mathbf{F} , \mathbf{G} — соответственно векторы ферро- и антиферромагнетизма в двухподрешеточном приближении [1,2]. В отличие от редкоземельных ортоферритов данный переход в Fe_3VO_6 происходит не путем двух последовательных фазовых переходов второго рода через промежуточную угловую фазу $\Gamma_{24}(G_{x,z}, F_{x,z})$, а посредством одного ОФП первого рода [3]. Это единственное известное орторомбическое соединение, в котором спиновая переориентация из одного слабоферромагнитного состояния в другое происходит через ОФП первого рода, что делает данное соединение уникальным.

В настоящей работе экспериментально исследованы температурные зависимости скорости и затухания прошедших через образец Fe_3VO_6 поперечных звуковых волн в окрестности спонтанного ОФП $\Gamma_4(G_x, F_z) - \Gamma_2(G_z, F_x)$. Предложена феноменологическая теория связанных магнитоупругих волн в ортоферритах в области ОФП первого рода, которая позволяет объяснить наблюдающиеся экспериментально особенности магнитоакустических волн в Fe_3VO_6 .

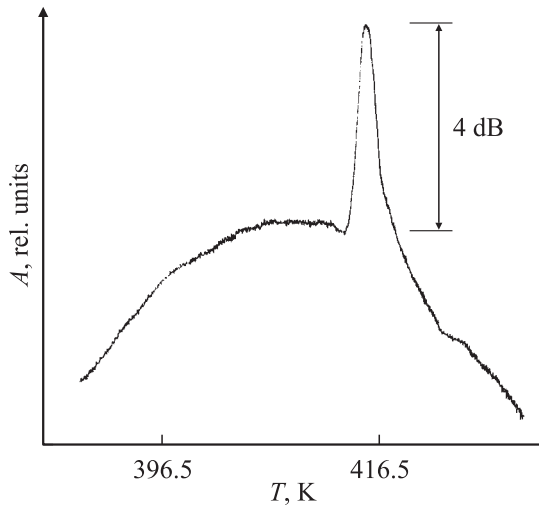
1. Эксперимент

Измерения скорости и затухания звука были выполнены с помощью импульсного ультразвукового спектрометра. Звук возбуждался резонансными пьезопреобразователями из ниобата лития на частоте 27.5 МГц. Затухание звука измерялось в непрерывном режиме с записью

на самописец. Измерения относительного изменения скорости проводились фазочувствительным методом по точкам. Число надежно разрешенных прошедших через образец ультразвуковых эхо-импульсов (более десяти) позволяло достаточно точно определить абсолютную скорость звука в кристалле.

Температура спонтанного фазового перехода в исследуемом образце Fe_3VO_6 составляла 415 К. В связи с этим возникала необходимость изоляции рабочего объема от пьезодатчиков. Для этого образец размещался между двумя линиями задержки из кварца z-среза длиной по 4 см. Акустический контакт линий задержки с образцом обеспечивался через алюминиевую фольгу толщиной 7 μm прижимом плоских поверхностей без смазки, а линий задержки с пьезодатчиками, находящимися при комнатной температуре, — через алюминиевую фольгу с помощью масла ГКЖ. Образец Fe_3VO_6 представлял собой монокристаллическую плоскопараллельную пластину размером $6.4 \times 3.1 \times 1.02 \text{ mm}$ с нормалью к плоскости образца \mathbf{n} , параллельной оси монокристалла \mathbf{a} . Точность совпадения оси \mathbf{a} с нормалью равнялась 0.5° , а точность установки направления плоскости поляризации звука в плоскости образца составляла 3° .

Симметричный анализ показывает, что, поскольку спонтанная переориентация $\Gamma_4(G_x, F_z) - \Gamma_2(G_z, F_x)$ обусловлена обращением в нуль анизотропии в плоскости ac , в этом случае активными (взаимодействующими со спиновыми волнами) должны быть звуковые моды с $\mathbf{k} \parallel \mathbf{a}$, $\boldsymbol{\varepsilon} \parallel \mathbf{c}$ или $\mathbf{k} \parallel \mathbf{c}$, $\boldsymbol{\varepsilon} \parallel \mathbf{a}$ (\mathbf{k} — волновой вектор, $\boldsymbol{\varepsilon}$ — вектор поляризации) [1,4]. На рисунке представлен результат измерения амплитуды прошедшего через образец ультразвукового сигнала в геометрии эксперимента $\mathbf{k} \parallel \mathbf{a}$, $\boldsymbol{\varepsilon} \parallel \mathbf{c}$. Из рисунка следует, что амплитуда прошедшего через образец активного звука в точке фазового



Температурная зависимость амплитуды активной поперечной звуковой волны в Fe_3VO_6 в области спонтанного ОФП Γ_2 – Γ_4 .

перехода не убывает (как во всех известных ортоферритах [1]), а возрастает. Это соответствует уменьшению затухания звука с $\mathbf{k} \parallel \mathbf{a}$, $\varepsilon \parallel \mathbf{c}$ в точке фазового перехода. Аномалия наблюдается на фоне плавного изменения с температурой амплитуды прошедшего через образец сигнала. Измерения скорости активного звука с $\mathbf{k} \parallel \mathbf{a}$, $\varepsilon \parallel \mathbf{c}$ показали, что в точке фазового перехода она уменьшается незначительно (относительное изменение скорости $\Delta S/S \sim 0.2\%$).

Затухание звуковых волн с $\mathbf{k} \parallel \mathbf{a}$, $\varepsilon \parallel \mathbf{b}$ обнаруживает также аномалию резонансного типа, но при $T = 415$ К амплитуда сигнала для этого типа волн уменьшается. Изменения скорости звука в этой геометрии в пределах ошибки эксперимента не зафиксированы.

2. Теория. Обсуждение результатов

Наблюдаемое экспериментально аномальное поведение звуковых волн с $\mathbf{k} \parallel \mathbf{a}$, $\varepsilon \parallel \mathbf{c}$ можно качественно объяснить следующим образом. Известно, что в окрестности фазового перехода первого рода в ортоферритах существует промежуточная доменная структура [5]. В этом случае образец ортоферрита в форме пластины разбивается на домены чередующихся фаз $\Gamma_2(G_z, F_x)$ и $\Gamma_4(G_x, F_z)$, разделенных доменными границами. В доменных границах происходит поворот вектора антиферромагнетизма \mathbf{G} от оси \mathbf{z} к оси \mathbf{x} , а вектор ферромагнетизма \mathbf{F} поворачивается от оси \mathbf{x} к оси \mathbf{z} . Если рассматривать области, которые содержат достаточно много доменов фаз $\Gamma_2(G_z, F_x)$ и $\Gamma_4(G_x, F_z)$, но малые по сравнению с длиной звуковой волны, то звуковая волна при прохождении через кристалл будет взаимодействовать не с намагниченностью каждой из фаз $\Gamma_2(G_z, F_x)$ или $\Gamma_4(G_x, F_z)$, а со средней намагниченностью. При наличии доменной структуры направление средней намагниченности не совпадает с осью \mathbf{x} или \mathbf{z} , а занимает некоторое промежуточное положение между этими осями. Ее

направление будет зависеть от соотношения объемных долей доменов фаз $\Gamma_2(G_z, F_x)$ и $\Gamma_4(G_x, F_z)$, которые в свою очередь зависят от температуры. В такой ситуации взаимодействие звуковой волны с промежуточной доменной структурой в области фазового перехода первого рода должно быть аналогичным взаимодействию звука с магнитной подсистемой ортоферритов в угловой фазе $\Gamma_{24}(G_{x,z}, F_{x,z})$, в которой как раз при изменении температуры намагниченность изменяет свое направление от оси \mathbf{z} к оси \mathbf{x} или наоборот. Как было показано в [4], затухание звука в ортоферритах, обусловленное взаимодействием звуковых волн с магнитной подсистемой, максимально в точках фазовых переходов второго рода $\Gamma_{24}(G_{x,z}, F_{x,z})$ – $\Gamma_2(G_z, F_x)$ и $\Gamma_{24}(G_{x,z}, F_{x,z})$ – $\Gamma_4(G_x, F_z)$, когда намагниченность становится параллельной оси \mathbf{x} или \mathbf{z} , и равно нулю в том случае, когда намагниченность составляет угол 45° с этими осями. Естественно предположить, что и в случае, когда в ортоферритах имеет место переход первого рода при наличии промежуточной доменной структуры, затухание звука должно вести себя аналогичным образом. Действительно, при равных долях доменов фаз $\Gamma_2(G_z, F_x)$ и $\Gamma_4(G_x, F_z)$ (т.е. в точке фазового перехода первого рода) средняя намагниченность будет составлять угол 45° с осями \mathbf{x} и \mathbf{z} , а при максимальной доле одной из фаз совпадать с этими осями. Таким образом, с учетом проведенной здесь аналогии при наличии промежуточной доменной структуры затухание звука должно быть минимальным в точке фазового перехода первого рода и максимальным в точках потери устойчивости фаз, что и наблюдается в эксперименте.

Проиллюстрируем изложенное выше с помощью феноменологической теории связанных магнитоупругих волн в ортоферритах, которая отличается от существующих на данный момент теорий [1,2,4] тем, что в ней учитывается промежуточная доменная структура, возникающая в ортоферритах в окрестности ОФП первого рода [5].

С этой целью рассмотрим стандартную связанную систему уравнений Ландау–Лифшица и теории упругости с учетом затухания в магнитной подсистеме [1,2]

$$\begin{aligned} \dot{\mathbf{F}} &= -\frac{g}{2M_0} \left\{ \left[\mathbf{F}, \frac{\partial W}{\partial \mathbf{F}} \right] + \left[\mathbf{G}, \frac{\partial W}{\partial \mathbf{G}} \right] \right\} + \frac{g}{2M_0} \mathbf{R}_F, \\ \dot{\mathbf{G}} &= -\frac{g}{2M_0} \left\{ \left[\mathbf{F}, \frac{\partial W}{\partial \mathbf{G}} \right] + \left[\mathbf{G}, \frac{\partial W}{\partial \mathbf{F}} \right] \right\} + \frac{g}{2M_0} \mathbf{R}_G, \\ \rho \dot{U}_i &= \frac{\partial \sigma_{ik}}{\partial x_k}, \end{aligned} \quad (1)$$

где g — гиромангнитное отношение, $\mathbf{R}_{F,G}$ — релаксационные слагаемые, которые записывались в виде [6]

$$\begin{aligned} \mathbf{R}_F &= -\lambda_0 \frac{\partial W}{\partial \mathbf{F}} - \lambda_\perp \mathbf{G}^2 \frac{\partial W}{\partial \mathbf{F}} - (\lambda_\perp - \lambda_\parallel) \mathbf{G} \left(\mathbf{G}, \frac{\partial W}{\partial \mathbf{F}} \right), \\ \mathbf{R}_G &= -\lambda_0 \frac{\partial W}{\partial \mathbf{G}} - \lambda_\perp \mathbf{G}^2 \frac{\partial W}{\partial \mathbf{G}} - (\lambda_\perp - \lambda_\parallel) \mathbf{G} \left(\mathbf{G}, \frac{\partial W}{\partial \mathbf{G}} \right), \end{aligned}$$

M_0 — намагниченность насыщения подрешетки при $T = 0$; W — плотность свободной энергии, ρ —

плотность магнетика, \mathbf{U} — вектор смещений, $\sigma_{ik} = \partial W / \partial U_{ik}$ — тензор напряжений, U_{ik} — тензор деформаций, λ — параметры релаксации. Релаксационные слагаемые $\mathbf{R}_{\mathbf{F}, \mathbf{G}}$ записаны в приближении $F \ll G$; в самом общем случае без данного приближения для двух-подрешеточных антиферромагнетиков они приведены в [6] в виде разложения по эффективным полям $\partial W / \partial \mathbf{F}$ и $\partial W / \partial \mathbf{G}$. Параметры λ_0 , λ_{\parallel} и λ_{\perp} выделяют вклад в диссипацию от продольных и поперечных колебаний по отношению к векторам ферро- и антиферромагнетизма. Плотность свободной энергии имеет вид

$$\begin{aligned} W = & \frac{1}{2} a \mathbf{G}^2 + \frac{1}{4} b \mathbf{G}^4 + \frac{1}{2} A \mathbf{F}^2 + \frac{1}{2} D (\mathbf{F}\mathbf{G})^2 + \frac{1}{2} D' \mathbf{F}^2 \mathbf{G}^2 \\ & - 2M_0 \mathbf{H}\mathbf{F} + \frac{1}{2} k_{ac}^0 G_z^2 + \frac{1}{2} k_{ab}^0 G_y^2 + \frac{1}{4} k_2 G_z^4 + \frac{1}{4} k_2' G_y^4 \\ & + \frac{1}{2} k_2'' G_y^2 G_z^2 + d_1 F_x G_z - d_3 F_z G_x + 2[(B_{11} U_{xx} \\ & + B_{12} U_{yy} + B_{13} U_{zz}) G_x^2 + (B_{21} U_{xx} + B_{22} U_{yy} \\ & + B_{23} U_{zz}) G_y^2 + (B_{31} U_{xx} + B_{32} U_{yy} + B_{33} U_{zz}) G_z^2 \\ & + B_{44} U_{yz} G_y G_z + B_{55} U_{xz} G_x G_z + B_{66} U_{xy} G_x G_y] \\ & + \frac{1}{2} (C_{11} U_{xx}^2 + C_{22} U_{yy}^2 + C_{33} U_{zz}^2) + C_{12} U_{xx} U_{yy} \\ & + C_{13} U_{xx} U_{zz} + C_{23} U_{yy} U_{zz} \\ & + 2C_{44} U_{yz}^2 + 2C_{55} U_{xz}^2 + 2C_{66} U_{xy}^2. \end{aligned} \quad (2)$$

Здесь пять первых слагаемых описывают энергию однородного обмена, шестое — энергию магнетика во внешнем магнитном поле \mathbf{H} , следующие слагаемые — энергию анизотропии (члены с коэффициентами k), энергию взаимодействия Дзялошинского–Мория (члены с коэффициентами d), магнитоупругости (члены с коэффициентами B) и упругости (члены с коэффициентами C). При записи (2) использовались стандартные обозначения, принятые для ортоферритов [1,2,4].

Поскольку в области ОФП первого рода существует промежуточная доменная структура, состоящая из доменов фаз $\Gamma_4(G_x, F_z)$ и $\Gamma_2(G_z, F_x)$, в качестве основного равновесного состояния магнетика необходимо рассматривать состояние из чередующихся фаз Γ_2 и Γ_4 , разделенных доменными границами. В таком состоянии векторы \mathbf{F} и \mathbf{G} вращаются в плоскости xz и углы между этими векторами и осью z зависят от координаты y (при одновременном учете в энергии (2) слагаемого с неоднородным обменом) [5]. Для данного состояния необходимо получить линеаризованную систему уравнений движения намагниченности (Ландау–Лифшица) и упругости, описывающую малые колебания вблизи положения равновесия. Эту систему следует затем усреднить по объему, содержащему достаточно много доменов фаз Γ_2 и Γ_4 , линейные размеры которых,

однако, малы по сравнению с длиной звуковой волны Λ . При таком усреднении можно пренебречь в линеаризованной системе динамических уравнений слагаемыми, описывающими неоднородный обмен. В этом случае отсутствуют поверхностные волны, локализованные на доменной границе, но остаются объемные спиновые колебания, которые и представляют интерес, поскольку именно с ними взаимодействуют звуковые колебания с такими длинами волн. При этом подходе задача о нахождении спектра связанных магнитоупругих волн в состоянии с промежуточной доменной структурой становится эквивалентной задаче о нахождении спектра данных колебаний в угловой фазе $\Gamma_{24}(G_{z,x}, F_{x,z})$, в которой подразумевается, что векторы \mathbf{G} и \mathbf{F} неявным образом зависят от координаты y . Эта зависимость исчезает при последующем усреднении (см. далее). Из (2) следует, что в состоянии $\Gamma_{24}(G_{z,x}, F_{x,z})$ значения векторов \mathbf{F} и \mathbf{G} определяются с помощью уравнений

$$\mathbf{F} = 2M_0 \chi_{\perp} [\mathbf{H} - D \chi_{\parallel} \mathbf{G}(\mathbf{H}\mathbf{G}) + \mathbf{G}_d],$$

$$\chi_{\perp}^{-1} = A + D \mathbf{G}^2, \quad \chi_{\parallel}^{-1} = A(D + D') \mathbf{G}^2,$$

$$\mathbf{G}_d = \{D \chi_{\parallel} (d_1 - d_3) G_z G_x^2 - d_1 G_z, 0, D \chi_{\parallel} (d_1 - d_3) G_x G_z^2 + d_3 G_x\},$$

$$(a + b \mathbf{G}^2 + D' \mathbf{F}^2 + 4\Delta_1 - B_{55}^2 G_z^2 / C_{55}) G_x + D(\mathbf{F}\mathbf{G}) F_x - d_3 F_z = 0,$$

$$(a + b \mathbf{G}^2 + D' \mathbf{F}^2 + 4\Delta_3 + k_{ac}^0 + k_2 G_z^2 - B_{55}^2 G_x^2 / C_{55}) G_z + D(\mathbf{F}\mathbf{G}) F_z + d_1 F_x = 0, \quad (3)$$

$$\Delta_i = \sum_{p=1}^3 B_{ip} U_{pp}^{(0)}, \quad U_{ik}^{(0)} \text{ — равновесные деформации [1].}$$

В соответствии с экспериментом рассмотрим случай распространения волн вдоль оси монокристалла $\mathbf{x} \parallel \mathbf{a}$. Для линеаризации системы связанных уравнений (1) все переменные представлялись в виде $\mathbf{Q} = \mathbf{Q}_0 + \mathbf{q} \exp(ikx - i\omega t)$, где \mathbf{Q}_0 — равновесные значения, а \mathbf{q} — малые отклонения от равновесного состояния. После этого проводилось усреднение полученной системы связанных уравнений. С этой целью все коэффициенты перед переменными величинами \mathbf{q} в системе уравнений представлялись в виде [5]

$$Q = Q(\Gamma_2)(1 - \xi) + Q(\Gamma_4)\xi, \quad (4)$$

где $Q(\Gamma_2)$, $Q(\Gamma_4)$ — значения коэффициентов в фазах $\Gamma_2(G_z, F_x)$ и $\Gamma_4(G_x, F_z)$; $(1 - \xi)$, ξ — доля доменов этих фаз соответственно. Как отмечалось выше, справедливость такого усреднения обусловлена тем, что длина звуковой волны $\Lambda = S/\omega \approx 10^{-2}$ см намного превосходит размер доменов в промежуточном состоянии [5].

Окончательно полная система связанных уравнений записывается как

$$\begin{aligned}
& (i\omega - \lambda\omega_{fx})f_x - (1 - \xi)\omega_{cb}g_y + \xi\omega_{d3}f_y = 0, \\
& (i\omega - \lambda\omega_E)f_y - (1 - \xi)\omega_{ca}g_x + \xi\omega_{ac}g_z \\
& \quad + (1 - \xi)(\omega_{d3} - \omega_{d1})f_z - \xi\omega_{df}f_x \\
& \quad + \frac{\rho S_5^2 \omega_{me5}}{B_{55}} (2\xi - 1)iku_z = 0, \\
& (i\omega - \lambda\omega_{fz})f_z - \xi\omega_{ab}g_y + (1 - x)\omega_{d1}f_y \\
& \quad - \frac{\rho S_6^2 \omega_{me6}}{B_{66}} \xi iku_y = 0, \\
& (i\omega - \lambda\omega_{gx})g_x + \frac{\omega_{d3}\omega_{ab}}{\omega_E} \xi g_y + (1 - \xi)\omega_E f_y \\
& \quad + \frac{\rho S_6^2 \omega_{me6}\omega_{d3}}{B_{66}\omega_E} \xi iku_y = 0, \\
& (i\omega - \lambda\omega_{gy})g_y - \frac{\omega_{d3}\omega_{E1}}{\omega_E} \xi g_x \\
& \quad - (1 - \xi)\frac{\omega_{d1}\omega_{E1}}{\omega_E} g_z - (1 - \xi)\omega_E f_x + \xi\omega_E f_z \\
& \quad - \frac{\rho S_5^2 \omega_{me5}}{\omega_E} \left[\frac{4B_{31}}{B_{55}} \omega_{d1}(1 - \xi) + \frac{4B_{11}}{B_{55}} \omega_{d3}\xi \right] iku_x = 0, \\
& (i\omega - \lambda\omega_{gz})g_z + \frac{\omega_{d1}\omega_{cb}}{\omega_E} (1 - \xi)g_y - \xi\omega_E f_y = 0, \\
& (\omega^2 - \omega_1^2)u_x + \frac{4ikB_{11}}{\rho} \xi g_x + \frac{4ikB_{31}}{\rho} (1 - \xi)g_z = 0, \\
& (\omega^2 - \omega_6^2)u_y + \frac{ikB_{66}}{\rho} \xi g_y = 0, \\
& (\omega^2 - \omega_5^2)u_z + \frac{ikB_{55}}{\rho} \xi g_z + \frac{ikB_{55}}{\rho} (1 - \xi)g_x = 0. \quad (5)
\end{aligned}$$

Здесь введены следующие обозначения:

$$\begin{aligned}
\omega_{fx} &= g \left[\chi_{\perp}^{-1}(1 - \xi) + \chi_{\parallel}^{-1}\xi + 16\pi M_0^2 \right] / 2M_0, \\
\omega_{fz} &= g \left[\chi_{\parallel}^{-1}(1 - \xi) + \chi_{\perp}^{-1}\xi \right] / 2M_0, \\
\omega_{gx} &= g \left[2\xi b + (1 - \xi)(-k_{ac}^0 - k_2 - 4(\Delta_2 - \Delta_1)) \right. \\
& \quad \left. + \chi_{\perp} d_1^2 + D\chi_{\perp}^2 d_1^2 \right] / 2M_0, \\
\omega_{gy} &= \xi\omega_{ab} + (1 - \xi)\omega_{cb}, \\
\omega_{gz} &= g \left[(1 - \xi)(2b + 2k_2 + \chi_{\perp} d_1^2) \right. \\
& \quad \left. + \xi(k_{ac}^0 + 4(\Delta_3 - \Delta_1) + \chi_{\perp} d_3^2) \right] / 2M_0, \\
\omega_E &= g\chi_{\perp}^{-1} / 2M_0, \quad \omega_{E1} = g\chi_{\perp}^{-1} [1 + 2\chi_{\perp}(b - D')] / 2M_0, \\
\omega_{d3,1} &= gd_{3,1} / 2M_0, \quad \omega_d = g[d_3 - d_1 + 16\pi M_0^2 \chi_{\perp} d_3] / 2M_0, \\
\omega_{ab} &= g[k_{ab}^0 + 4(\Delta_2 - \Delta_1) + \chi_{\perp} d_3^2] / M_0, \\
\omega_{cb} &= g[k_{ab}^0 + k_2'' - k_{ac}^0 - k_2 + 4(\Delta_2 - \Delta_3) + \chi_{\perp} d_1^2] / 2M_0, \\
\omega_{ca} &= g[-k_{ac} - k_2 - 4(\Delta_3 - \Delta_1) + \chi_{\perp} d_1(d_1 - d_3)] / 2M_0,
\end{aligned}$$

$$\begin{aligned}
\omega_{ac} &= g[k_{ac} + 4(\Delta_3 - \Delta_1) + \chi_{\perp} d_3(d_3 - d_1)] / 2M_0, \\
\omega_i^2 &= S_i^2 k^2, \quad S_i^2 = C_{ii} / \rho, \\
\omega_{mei} &= \frac{gB_{ii}^2}{2M_0 \rho S_i^2}, \quad \lambda = \lambda_0 + \lambda_{\parallel}.
\end{aligned}$$

При выводе уравнений (5) в релаксационных слагаемых использовалось условие $\lambda_{\perp} = \lambda_{\parallel}$, а также пренебрегалось слагаемыми, пропорциональными малой величине F . Кроме того, предполагалось, что в фазах Γ_2 и Γ_4 величина $G \approx 1$ и все характерные частоты намного меньше обменной частоты ω_E .

Система уравнений (5) является сложной для анализа законов дисперсии связанных магнитоупругих волн. Не теряя общности результатов, можно ее значительно упростить. Для этого примем следующие приближения: $B_{31} = B_{11} = 0$, $d_3 = d_1 = 0$, что отвечает пренебрежению взаимодействием продольного звука со спиновой подсистемой и взаимодействием Дзялошинского–Мория. В этом случае система связанных уравнений (5) распадается на две независимые системы относительно переменных f_y, g_x, g_z, u_z и g_y, f_x, f_z, u_y соответственно. В одной из них со спиновой подсистемой взаимодействует поперечная звуковая волна с поляризацией $\varepsilon \parallel \mathbf{c}$, а в другой — поперечная звуковая волна с поляризацией $\varepsilon \parallel \mathbf{b}$. На основании полученных систем связанных уравнений легко найти дисперсионные уравнения магнитоупругих волн

$$\begin{aligned}
& \omega^5 + i\lambda(\omega_E + \omega_{gx} + \omega_{gz})\omega^4 - i\{\omega_5^2 + \omega_{1S}^2\} \\
& \quad + \lambda^2[\omega_E(\omega_{gx} + \omega_{gz}) + \omega_{gx}\omega_{gz}] \omega^3 \\
& \quad - i\lambda[\omega_5^2(\omega_E + \omega_{gx} + \omega_{gz}) + \omega_E\omega_{1rS}^2 + \lambda^2\omega_E\omega_{gx}\omega_{gz}] \omega^2 \\
& \quad + \omega_5^2\{\omega_{1S}^2 - \omega_E\omega_{me5}(2\xi - 1)^2\} \\
& \quad \times \lambda^2[\omega_E(\omega_{gx} + \omega_{gz}) + \omega_{gx}\omega_{gz}] \omega \\
& \quad + i\lambda\omega_5^2\omega_E[\omega_{1rS}^2 + \omega_{2rS}^2(2\xi - 1) + \lambda^2\omega_{gx}\omega_{gz}] = 0, \quad (6)
\end{aligned}$$

$$\begin{aligned}
& \omega^5 + i\lambda(\omega_{fx} + \omega_{gy} + \omega_{fz})\omega^4 - [\omega_6^2 + \omega_{2S}^2] \\
& \quad + \lambda^2(\omega_{fx}\omega_{gy} + \omega_{fx}\omega_{fz} + \omega_{gy}\omega_{fz}) \omega^3 \\
& \quad - i\lambda[\omega_6^2(\omega_{fx} + \omega_{gy} + \omega_{fz}) + \omega_E\omega_{3rS}^2] \\
& \quad + \lambda^2\omega_{fx}\omega_{gy}\omega_{fz} \omega^2 + \omega_6^2[\omega_{2S}^2 - \omega_E\omega_{me6}\xi^3] \\
& \quad + \lambda^2(\omega_{fx}(\omega_{gy} + \omega_{fx}\omega_{fz} + \omega_{gy}\omega_{fz})) \omega \\
& \quad + i\lambda\omega_6^2[\omega_E\omega_{3rS}^2 - \omega_E\omega_{fx}\omega_{me6}\xi^3 + \lambda^2\omega_{fx}\omega_{gy}\omega_{fz}] = 0, \quad (7)
\end{aligned}$$

где

$$\begin{aligned}
\omega_{1S}^2 &= \omega_E[\omega_{ca}(1 - \xi)^2 + \omega_{ac}\xi^2], \\
\omega_{1rS}^2 &= \omega_{gz}\omega_{ca}(1 - \xi)^2 + \omega_{gx}\omega_{ac}\xi^2, \\
\omega_{2rS}^2 &= \omega_{me5}[\omega_{gz}(1 - \xi)^2 - \omega_{gx}\xi^2], \\
\omega_{2S}^2 &= \omega_E[\omega_{cb}(1 - \xi)^2 + \omega_{ab}\xi^2], \\
\omega_{3rS}^2 &= \omega_{fz}\omega_{cd}(1 - \xi)^2 + \omega_{fx}\omega_{ab}\xi^2.
\end{aligned}$$

Дисперсионные уравнения (6), (7) позволяют определить законы дисперсии связанных магнитоупругих волн. При $\lambda = 0$ из них получаем законы дисперсии незатухающих магнитоупругих волн

$$\omega_I^2 = \omega_{1S}^2 + \omega_5^2 \omega_E \omega_{me5} (2\xi - 1)^2 / \omega_{1S}^2,$$

$$\omega_{II}^2 = \omega_{2S}^2 + \omega_6^2 \omega_E \omega_{me6} \xi^3 / \omega_{2S}^2, \quad (8)$$

$$\omega_{III}^2 = \omega_5^2 [1 - \omega_E \omega_{me5} (2\xi - 1)^2 / \omega_{1S}^2],$$

$$\omega_{IV}^2 = \omega_6^2 [1 - \omega_E \omega_{me6} \xi^3 / \omega_{2S}^2]. \quad (9)$$

Первые две ветви спектра отвечают квазиспиновым волнам, а вторые две — квазиупругим волнам. Из (9) видно, что скорость квазиупругих волн $S_{III} = \omega_{III}/k$ с поляризацией $\boldsymbol{\varepsilon} \parallel \mathbf{c}$ максимально уменьшается в точках потери устойчивости фаз Γ_2 и Γ_4 , т.е. при $\xi = 1$ и 0 соответственно. В точке же ОФП (ей отвечает значение параметра $\xi = 1/2$) в принятых приближениях скорость этого квазизвука не изменяется, что согласуется с результатами эксперимента (как отмечалось выше относительное уменьшение скорости такого звука $\Delta S/S \sim 0.2\%$). Скорость квазиупругих волн с поляризацией $\boldsymbol{\varepsilon} \parallel \mathbf{b}$ максимально уменьшается только в точке потери устойчивости фазы Γ_2 . В фазе же Γ_4 данный звук вовсе не взаимодействует со спиновой подсистемой.

Решение уравнений (6), (7) в первом приближении по параметру затухания λ позволяет определить затухание звуковых волн $\Gamma = k''$, где k'' — мнимая часть волнового числа. Оно выражается формулами

$$\Gamma_{III} = \frac{\lambda}{2} \frac{\omega_E \omega_{me5} (2\xi - 1)}{S_5 \omega_{1S}^2 (1 - \xi_5)^{3/2}}$$

$$\times \left\{ (\omega_{gz} - \omega_{gx})(\omega_{ca} + \omega_{ac}) \xi^2 (1 - \xi)^2 + \frac{\omega^2}{\omega_{1S}^2} [(\omega_{gx} + \omega_E) \omega_{ca} (1 - \xi)^2 + (\omega_{gz} + \omega_E) \omega_{ac} \xi^2] \right\}, \quad (10)$$

$$\Gamma_{IV} = \frac{\lambda}{2} \frac{\omega_E \omega_{me6} \xi^3}{S_5 \omega_{2S}^4 (1 - \xi_6)^{3/2}}$$

$$\times [(\omega_{fx} - \omega_{fz}) \omega_{cb} \omega_E (1 - \xi)^2 + \omega^2 (\omega_{gy} + \omega_{fz})], \quad (11)$$

где $\xi_5 = \omega_E \omega_{me5} (2\xi - 1)^2 / \omega_{1S}^2$, $\xi_6 = \omega_E \omega_{me6} \xi^3 / \omega_{2S}^2$ — параметры магнитоупругой связи.

Приведенные формулы (10), (11) позволяют качественно объяснить экспериментально наблюдаемые особенности распространения звуковых волн в Fe_3VO_6 . В частности, из (10) следует, что на границах устойчивости существования промежуточной доменной структуры ($\xi = 0$ и 1) параметр магнитоупругой связи ξ_5 максимален, а частота ω_{1S}^2 минимальна, и затухание поперечного звука Γ_{III} с $\mathbf{k} \parallel \mathbf{a}$, $\boldsymbol{\varepsilon} \parallel \mathbf{c}$ имеет максимумы. В точке же фазового перехода (при $\xi = 1/2$) затухание такого звука равно нулю и определяется только затуханием в упругой подсистеме, которое не учитывалось при выводе

формулы (10). Таким образом, в точке ОФП первого рода затухание активного звука действительно должно иметь минимум, что и наблюдается экспериментально (см. рисунок). Из (11) следует, что затухание Γ_{IV} поперечного звука с $\mathbf{k} \parallel \mathbf{a}$, $\boldsymbol{\varepsilon} \parallel \mathbf{b}$ должно иметь один максимум, соответствующий одной границе существования промежуточной доменной структуры ($\xi = 1$ — точка потери устойчивости фазы Γ_2). Именно такая ситуация имеет место в эксперименте [3].

Отметим, что может быть предложена еще одна гипотеза объяснения наблюдавшейся экспериментально акустической аномалии в Fe_3VO_6 . Согласно ей, из-за сильного магнитоупругого взаимодействия поглощение активного звука при приближении к ОФП возрастает настолько, что данные звуковые волны в окрестности самой точки ОФП становятся чисто релаксационными [2]. В этом случае действительная часть звуковой частоты равна нулю и поглощение звука должно быть минимальным. Однако против этой гипотезы свидетельствует то, что относительное изменение скорости активного звука вблизи точки ОФП является настолько незначительным, что не должно приводить к сильному увеличению затухания звука при подходе к точке ОФП.

Список литературы

- [1] В.Д. Бучельников, Н.К. Даньшин, Л.Т. Цымбал, В.Г. Шавров. УФН **166**, 6, 585 (1996).
- [2] В.Д. Бучельников, Н.К. Даньшин, Л.Т. Цымбал, В.Г. Шавров. УФН **169**, 10, 1049 (1999).
- [3] Л.Т. Цымбал, А.И. Изотов, Н.К. Даньшин, К.Н. Кочарян. ЖЭТФ **105**, 4, 948 (1994).
- [4] И.Е. Дикштейн, В.В. Тарасенко, В.Г. Шавров. ФТТ **19**, 4, 1107 (1977).
- [5] В.Г. Барьяхтар, В.А. Попов. Проблемы физики твердого тела. УНЦ АН СССР, Свердловск (1975). 193 с.
- [6] А.А. Мухин, А.С. Прохоров. Тр. ИОФАН **25**, 162 (1990).